

# اثر ژئوستنتیک‌ها بر عمر خستگی روسازی‌های آسفالتی

احمد خدادادی، استادیار، دانشکده فنی و مهندسی، دانشگاه تربیت مدرس، تهران، ایران

منصور فخری، استادیار، دانشکده عمران، دانشگاه صنعتی خواجه نصیرالدین طوسی، تهران، ایران

حمید رضا امیری حسینی، دانشجوی کارشناسی ارشد، دانشکده فنی و مهندسی، دانشگاه تربیت مدرس، تهران، ایران

E-mail:akdarban@modares.ac.ir

## چکیده

ترک های خستگی یکی از مهم‌ترین خرابی‌های روسازی‌های آسفالتی هستند که به دلیل افزایش بار و ترافیک در جاده‌های ارتباطی و فرودگاه‌های کشور به وجود می‌آیند. ژئوستنتیک‌ها می‌توانند به عنوان تقویت کننده در روسازی‌های آسفالتی تا حد زیادی در افزایش طول عمر آن‌ها و جلوگیری از ایجاد ترک های زودرس مؤثر باشند. کارآیی ژئوستنتیک‌ها در روسازی‌های آسفالتی به عوامل زیادی از جمله مخلوط آسفالتی، درجه حرارت، محل قرارگرفتن و ... پستگی دارد. این مقاله، به بررسی عملکرد دو نوع ژئوستنتیک (ژئوتکستایل و ژئوگرید) در عمر خستگی تیرچه های آسفالتی به ابعاد  $5 \times 11 \times 31$  میلیمتر می‌پردازد. نمونه‌های مسلح شده در حالت کرنش ثابت با موج نیمه سینوسی، بدون استراحت و فرکанс، انجام شد. در پایان عمر خستگی نمونه‌ها، کاهش سختی به  $50\%$  سختی اولیه تعریف گردید. نتایج نشان می‌دهد که عمر خستگی نمونه‌های مسلح شده با ژئوتکستایل و ژئوگرید تا  $50$  و  $65$  درصد افزایش می‌یابد. همچنین لایه مسلح کننده در نمونه‌های مسلح شده، باعث افزایش سختی اولیه و کاهش سرعت گسترش ترک در تیرهای آسفالتی، در مقایسه با حالت مسلح نشده، می‌گردد.

**کلمات کلیدی:** روسازی‌های آسفالتی، عمر خستگی، ژئوستنتیک‌ها و آزمایش تیر خمی

## ۱. مقدمه

است حتی کمتر از مقاومت نهایی استاتیکی آسفالت باشد. مقاومت در برابر خستگی یک مخلوط آسفالتی، توانمندی مخلوط در مقابل بارهای خمی تکراری بدون شکست است. ترک های ناشی از خستگی در روسازی‌ها عموماً در اثر تغییرات شرایط محیطی خصوصاً تغییرات دمایی و تکرار بار وسایل نقلیه به وجود می‌آیند<sup>[۲ و ۳]</sup>. این ترکها را می‌توان به سه گروه دسته بندی کرد؛ ترک های طولی؛ ترک‌های عرضی و ترک‌های پوست سوسناری. گسترش این ترک ها در سه مرحله انجام می‌شود: مرحله اول

خرابی در روسازهای انعطاف پذیر در اثر دو عامل ترک خورده‌گی یا شیار افتادگی روی می‌دهد. عامل شیار افتادگی عموماً در اثر عبور بارهای بیش از توان روسازی است، اما ترکها معمولاً در اثر عبور زیاد وسایل نقلیه با بارهای عادی و انقباض و انبساط روسازی در اثر تغییرات دمایی حاصل می‌شوند. از میان این دو مکانیزم، ترک های مربوط به خستگی به تعداد زیاد در رویه های آسفالتی دیده می‌شوند<sup>[۱]</sup>. خستگی عبارت است از پدیده شکست بر اثر تکرار بار، تغییر و تناوب دینامیکی بار که ممکن

میان این روش‌ها، آزمایش خمثی تیرچه، روش مناسب تری برای پیش‌بینی عمر خستگی نمونه‌های آسفالتی است که در این تحقیق مورد استفاده قرار گرفته است.

هدف از این تحقیق بررسی میزان کارآبی ژئوستیک‌ها در روسازی‌های آسفالتی و تاثیر کاربرد آنها در افزایش عمر خستگی این گونه روسازی‌ها بر اساس مطالعات میدانی و آزمایشگاهی است.

## ۲. مواد و روش آزمایش

به منظور مشخص کردن اثرات واقعی کاربرد ژئوستیک‌ها در افزایش عمر خستگی روسازی آسفالتی، اقدام به ایجاد یک مقطع در محل فرودگاه امام با استفاده از ژئوتکستایل و ژئوگرید، و بدون استفاده از این مواد گردید.

### ۱-۲ مواد به کار رفته

دانه بندی سنگدانه‌های به کار گرفته شده در این تحقیق مطابق مندرجات جدول ۱ بوده است.

جدول ۱. دانه بندی آسفالت ایجاد شده در محل

میانگین حدود مشخصات شماره ۴ جدول ۳-۱۸ [۱۵][۱۱۰] نشریه	درصد رد شده	اندازه الک
۱۰۰	۱۰۰	۷۵/۰٪ اینچ
۹۰-۱۰۰	۹۵	۵۰/۰٪ اینچ
-	۸۷	۳/۹٪ اینچ
۴۴-۷۴	۶۴/۵	۴ شماره
۲۸-۵۸	۳۷/۷	۸ شماره
۷-۲۳	۱۰	۵۰ شماره
۲-۱۰	۵	۲۰۰ شماره

ژئوتکستایل مورد مصرف در این تحقیق Polyfelt-PGM 14 بوده است که یک نوع ژئوتکستایل نیافته است. این ژئوتکستایل مخصوص آسفالت و مقاوم به حرارت در دماهای تا ۱۶۰ درجه سانتیگراد است. مشخصات فنی این ژئوتکستایل بر اساس اطلاعات ارایه شده از سوی کارخانه تولید کننده مطابق مندرجات

مرحله آغاز ترک است و ترکهای ریز در اثر تمرکز تنش در رویه ایجاد می‌شوند. در مرحله دوم، ترک‌های ریزی که در مرحله اول ایجاد شده‌اند شروع به گسترش می‌کنند و ترکهای بزرگ‌تر تشکیل می‌شوند. مرحله سوم مرحله شکست است [۴]. تحقیقات مختلف نشان داده‌اند که می‌توان با کاربرد مواد پلیمری جدید (ژئوستیک‌ها) مقاومت کششی روسازی‌های آسفالتی را افزایش داد، بر طول عمر روسازی‌ها افزود و از ترک‌های زود رس و ایجاد و توسعه ترکهای خستگی جلوگیری کرد. همچنین مشاهدات میدانی در روسازی‌های مسلح شده با ژئوستیک‌ها نشان می‌دهند که لایه‌های مسلح کننده باعث بهبود زهکشی، افزایش عمر روسازی، کنار هم نگهداشتن قسمت‌های ترک خورده، جلوگیری از نشستهای موضعی و کاهش شیار شدگی می‌شوند. [۱۲، ۹، ۸، ۷، ۶، ۱۱، ۱۰]

ژئوستیک‌ها محصولات مسطحی هستند که از مواد پلیمری ساخته شده و به عنوان یک بخش جدایی ناپذیر در پروژه‌های مهندسی عمران به همراه خاک، سنگ، زمین یا سایر مصالح مرتبط با مهندسی ژئوتکنیک به کار برده می‌شوند [۱۳].

ژئوستیک‌ها خانواده‌ای از مصالح هستند با کاربردهای گسترده و متنوع در مهندسی ژئوتکنیک، که در چند دهه اخیر استفاده از آنها رشد بسیار محسوسی داشته است. ASTM ژئوستیک‌ها را اینگونه تعریف می‌کند: [۱۴]

ژئوستیک‌ها به پنج دسته کالی تقسیم می‌شوند. ژئوتکستایل‌ها،<sup>۱</sup> ژئوگریدها،<sup>۲</sup> ژئونتها،<sup>۳</sup> ژئومبرینها،<sup>۴</sup> ژئوکامپوزیتها.<sup>۵</sup> متأسفانه هنوز استاندارد مشخصی در مورد نصب ژئوستیک‌ها در روسازی‌های آسفالتی وجود ندارد و تنوع این محصولات توسط شرکت‌های مختلف تولیدی کارآبی آنها در مکانهای مختلف را همواره مورد سؤوال قرار داده است.

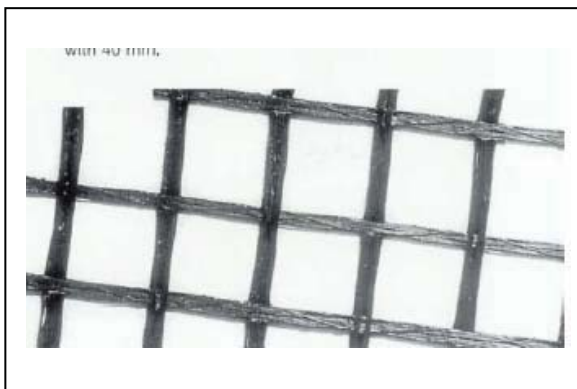
بنابراین نحوه، محل نصب و نوع آسفالت می‌تواند تا حد زیادی بر نحوه عملکرد ژئوستیک‌ها مؤثر باشد و لذا لازم است که تاثیر استفاده از آنها در افزایش عمر آسفالت مورد بررسی قرار گیرد. از آنجا که ترکهای ناشی از خستگی یکی از پارامترهای تعیین کننده کیفیت آسفالت هستند. لذا در این تحقیق بررسی تاثیر کاربرد دونوع ژئوستیک بر افزایش عمر روسازی آسفالتی از طریق آزمایش خستگی مورد بررسی قرار می‌گیرد.

روشهای مختلفی برای تعیین عمر خستگی روسازی‌های آسفالتی وجود دارند که از آنها میان می‌توان به روشهای کشش غیر مستقیم، کشش مستقیم، تیرچه خمثی و ... اشاره کرد که از

## اثر ژئوستیک‌ها بر عمر خستگی روسازی آسفالتی

برش خوردن و لایه مسلح کننده در ارتفاع  $1/3$  از پایین نمونه با توجه به توصیه مرجع قرار گرفتند.<sup>[۱۷]</sup>

جدول ۲ است. اکنون این نوع ژئوتکستایل در آزاد راه تهران - قم نیز استفاده می‌شود.



شکل ۲. ژئوگرید مورد استفاده در تحقیق



شکل ۱. ژئوتکستایل مورد استفاده در این تحقیق

جدول ۳. ویژگی‌های ژئوگرید مورد استفاده<sup>[۱۸]</sup>

مقدار	واحد	استاندارد	ویژگی
دومحوری			نوع محصول
$100\%$ پلی استر			مواد خام
$40 \times 40$	mm		اندازه منافذ
$50/50$	KN/m	EN-ISO 10319	مقاومت کششی طولی/عرضی
$12/14$	%	EN-ISO 10319	کشیدگی در حد اکثر نیبرو عرضی/طولی
$240$	$g/m^2$	EN 965	وزن در واحد سطح
$<10$	%		سطح ضربت تغیرات
$190$	$^{\circ}C$	ASTM D276	نقطه ذوب

جدول ۲. ویژگی‌های ژئوتکستایل مورد استفاده<sup>[۱۶]</sup>

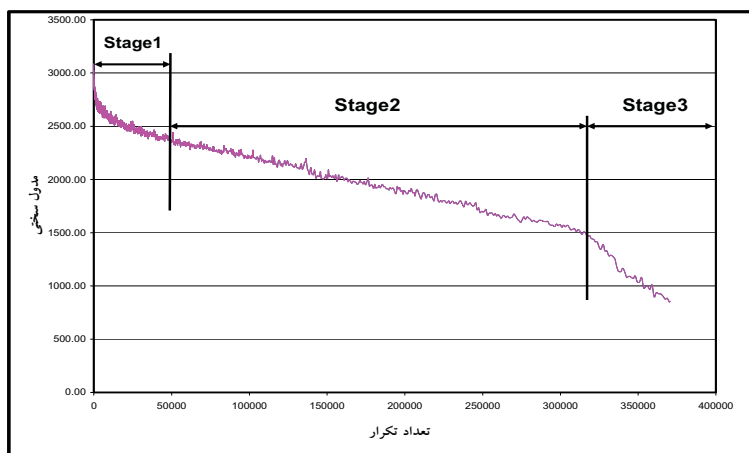
مقدار	واحد	استاندارد	ویژگی
نیافته با الیاف پیوسته			نوع محصول
$100\%$ پلی پروپیلن			مواد خام
$1/1$	$KG/M^2$	ASTM D 6140-97	جذب قیر
$520$	N	ASTM D 4632	مقاومت کششی کشیدگی
$>50$	%		
$1/4$	mm	EN 964-1	ضخامت در $2 KN/M^2$
$140$	$g/m^2$	EN 965	وزن در واحد سطح
$<10$	%		ضربت تغییرات
$165$	$^{\circ}C$	ASTM D276	نقطه ذوب
$100\%$ قابل بازیافت با روشهای سنتی			بازیافت



شکل ۳. تعدادی از نمونه‌های تهیه شده

ژئوگرید مورد استفاده در این تحقیق از نوع شبکه‌ای است. این نوع ژئوگرید نیز مخصوص آسفالت بوده و در برابر دماهای تا  $190^{\circ}C$  درجه سانتیگراد مقاوم است. خصوصیات آن بر اساس اعلام کارخانه سازنده به شرح جدول ۳ است. هم اکنون این نوع ژئوگرید، وارداتی بوده و در تقویت موضعی روسازی در فرودگاه امام از آن استفاده شده است.

پس از ایجاد مقطع مورد نظر در یکی از جاده‌های دسترسی فرودگاه امام، دالهای  $50 \times 50$  سانتیمتری از این مقطع تهیه و برای برش نمونه‌ها به آزمایشگاه مرکزی فنی و مکانیک خاک وزارت راه و ترابری منتقل شدند. نمونه‌ها برای آزمایش خمی تیرچه آسفالتی به ابعاد  $381 \times 63 \times 50$  میلیمتر با رواداری ۵ میلیمتر توسط اره مناسب از برش دالهای آسفالتی، تهیه شدند. نمونه‌ها در ۶ وجه



شکل ۴. نمونه ای از نمودار سختی در مقابل تکرار بار

عموماً به صورت کاهش سختی تا درصدی از سختی اولیه ( عموماً ۵۰ درصد ) تعريف کرده‌اند. استاندارد AASHTO-TP8-94 این مقدار را ۵۰ درصد تعیین کرده است. اما به علت اختلاف موجود در محاسبه سختی اولیه و گاهی پراکندگی در نتایج، بهترین معیار برای تعیین مرز شکست نمونه، توجه به نمودار کاهش ضریب سختی در مقابل تکرار بار است که بر اساس یک تعريف دیگر، پایان مرحله دوم و شروع مرحله سوم، مرز شکست نمونه تعیین می شود [۱۹].

### ۳-۲ معرفی دستگاه آزمایش خستگی تیر

این دستگاه قادر است بارهای خمی تکراری به نمونه های آسفالتی ( یا دیگر مصالح ) را وارد کرده و بار وارد و تغییر شکل ایجاد شده را محاسبه کند. آزمایش ممکن است در حالت تنفس کنترل شده یا کرنش کنترل شده انجام شود. در حالت تنفس کنترل شده یا کرنش کنترل شده در هر تکرار بار تصویح شده. تغییر شکل اندازه گیری شده در هر تکرار بار تصویح می شود تا در تکرار بعدی، کرنش تعیین شده محقق گردد. در حالت تنفس کنترل شده نیروی وارده ثابت فرض می شود و تغییر شکل نیز ثبت می گردد. اگر در نمونه خرزش روی دهد، سطح حداقل و حداقل بار تصویح می شود تا تیر در حالت مستقیم نگه داشته شود.

پارامترهای مختلفی از داده‌های به دست آمده محاسبه می شوند که عبارتند از : مدت زمان بارگذاری، تعداد تکرار بار، حداقل و حداقل مقدار بار وارد، حداقل و حداقل تغییر شکل تیر، تنفس و کرنش کششی و سختی خمی.

### ۲-۲ روش آزمایش خمی تیرچه

آزمایش خمی تیرچه در دو حالت تنفس کنترل شده و کرنش کنترل شده قابل انجام است. شکل ۳ موج بارگذاری در حالت تنفس کنترل شده، سینوسی و در حالت کرنش کنترل شده سینوسی و نیمه سینوسی است.

در حالت تنفس کنترل شده مقدار تنفس تعیین شده تا مرحله شکست نمونه اعمال می شود ولی در حالت کرنش کنترل شده سیستم بازگشتی تعییه شده در دستگاه آزمایش خستگی تیر پس از هر تکرار بارگذاری، تنفس را اصلاح می کند تا کرنش در حد مشخص شده ثابت باقی بماند. شکل ۴ یک نمونه از نمودار سختی در مقابل تکرار بار را که در آزمایشها خستگی باحالت کرنش ثابت به دست آمده است نشان می دهد. نمودار را می توان به سه قسمت تقسیم کرد:

قسمت اول: مشخصه این قسمت، کاهش سریع مدول سختی نمونه است . این بخش در حدود ۱۰٪ عمر خستگی را شامل می شود.

قسمت دوم: مشخصه این قسمت کاهش خطی ضریب سختی نمونه است که این بخش در حدود ۹۰٪ عمر خستگی را شامل می شود و مرحله گسترش ترک های ریز است.

قسمت سوم: ویژگی این قسمت کاهش ناگهانی ضریب سختی نمونه است که در این، بخش نمونه به مرحله شکست نزدیک می شود و ترک های بزرگ گسترش می یابند.

در حالت کرنش کنترل شده به علت کاهش مقدار تنفس، نمونه می تواند مدت زیادی در مرحله سوم بدون کاهش چشمگیر در مقدار سختی نمونه باقی بماند. به این علت معیار شکست را

در گام اول پردازش نتایج حاصل، عمر خستگی نمونه‌های مختلف استخراج گردید که به شرح جداول ۵ تا ۷ بیان شده است. مبنای عمر خستگی که در تحلیل‌های بعدی مورد استفاده قرار می‌گیرد، کاهش سختی تا ۵۰٪ سختی اولیه است. سپس نمودارهای سطوح کرنش در برابر عمر خستگی برای هر سه حالت رسم شدن و با استفاده از نرم افزار بر روی این نقاط رگرسیون نمایی انجام شد که نمودارهای حاصل، معادلات به دست آمده و ضریب همبستگی ( $R^2$ ) مطابق اشکال ۶ تا ۸ و جدول ۸ ارایه می‌شوند. ضرایب  $k$  و  $n$  بر اساس رابطه ۱ مطابق مندرجات جدول ۹ به دست می‌آیند. اشکال ۶ تا ۸ منحنی‌های خستگی برای حالات مختلف را نشان می‌دهند. بررسی نمودارهای مربوط به ضریب سختی در برابر تکرار بار برای هر نمونه نشان می‌دهد که نمونه‌های مسلح شده دارای ضریب سختی بیشتری از نمونه‌های غیر مسلح هستند که این ضریب در نمونه‌های مسلح شده با ژئوگرید بیشتر است. نتایج کارهای Kim Saraf Brown et al, نیز نشان دهنده این مطلبند [۲۱ و ۲۲].

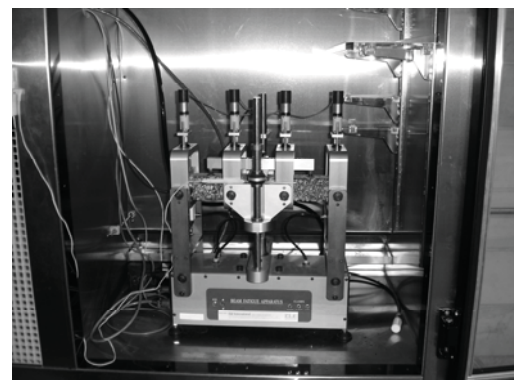
جدول ۵. تعداد تکرار بار تا مرحله شکست

در نمونه‌های مسلح شده

تعداد تکرار تا پایان مرحله دوم نمودار تکرار ضریب سختی	تعداد تکرار تا مرحله شکست (کاهش ۵۰٪ درصد ضریب سختی)	سطح کرنش
۳۱۵۰۶۰	۳۰۹۰۶۷	۷۰۰
۱۲۲۵۷۲	۹۱۵۶۰	۹۰۰
۳۷۶۸۰	۲۸۷۳۳	۱۱۰۰
۲۱۳۵۳	۱۸۰۳۰	۱۳۰۰

جدول ۶. تعداد تکرار بار تا مرحله شکست در نمونه‌های مسلح شده با ژئوتکسیال

تعداد تکرار تا پایان مرحله دوم نمودار تکرار ضریب سختی	تعداد تکرار تا مرحله شکست (کاهش ۵۰٪ درصد ضریب سختی)	سطح کرنش
۵۹۷۰۱۳	۳۵۷۹۶۱	۷۰۰
۲۷۰۱۰۵	۱۲۰۳۴۰	۹۰۰
۶۲۴۹۱	۵۳۴۶۰	۱۱۰۰
۲۵۲۹۰	۲۸۶۶۸	۱۳۰۰



شکل ۵. چارچوب دستگاه آزمایش خمش تیرچه

#### ۴-۲ طراحی آزمایش‌ها

با توجه به تعداد نمونه‌های به دست آمده در عملیات برش دالهای برداشت شده از اجرای میدانی و توجه به حداقل نمونه‌های مورد نیاز برای رسم منحنی‌های خستگی، برای هر حالت مسلح شده و مسلح نشده ۴ نمونه در ۴ سطح کرنش مورد آزمایش قرار گرفتند. با عنایت به این نکته که نمونه‌ها در یک سمت مسلح شده بودند و برای شبیه سازی بهتر رشد ترک، در مقایسه با وضعیت واقعی از بارگذاری نیمه سینوسی با فرکанс ۱۰ هرتز و بدون استراحت در حالت کرنش کنترل شده استفاده گردید.

با توجه به نتایج حاصل از مرور مطالعات صورت گرفته در زمینه بکارگیری ژئوستیک‌ها، برای مشاهده پتانسیل ژئوستیک‌ها در مسلح سازی رویه‌های آسفالتی، نمونه‌ها در سطح با کرنش زیاد آزمایش شدند. نمونه‌ها در ۴ سطح کرنش ۷۰۰، ۹۰۰، ۱۱۰۰ و ۱۳۰۰ میکرون و در دمای  $۰\pm ۰.۸$  درجه سانتیگراد مورد آزمایش قرار گرفتند و آزمایش‌ها تا شروع مرحله سوم نمودار کاهش ضریب سختی در مقابل تکرار بار ادامه یافتند.

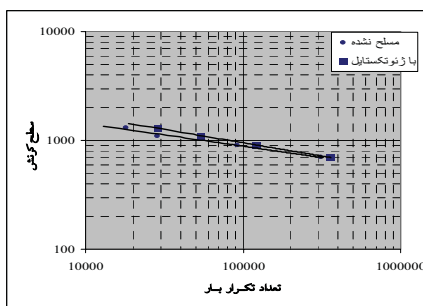
#### ۳. پردازش نتایج و بحث

یکی از معمول ترین معادلات خستگی به صورت معادله (۱) است [۲۰]

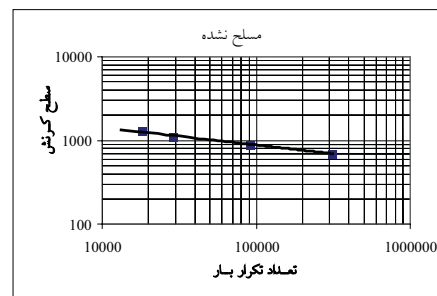
$$N_f = k \left( \frac{1}{\varepsilon} \right)^n \quad (1)$$

که در آن  $\varepsilon$  کرنش کششی اولیه و  $n$  ضرایب ثابت هستند که بعد از رسم نمودار تعداد تکرار در مقابل کرنش کششی اولیه در مقیاس لگاریتمی، با استفاده از معادله خط برآش شده، قابل محاسبه‌اند.

نتایج مربوط به آزمایش‌های این تحقیق بر اساس معادله فوق نشان داده شده‌اند.



شکل ۱۰. مقایسه منحنی خستگی در حالت مسلح نشده و مسلح شده با ژئوتکستایل



شکل ۶. منحنی خستگی برای نمونه های غیر مسلح

جدول ۷. تعداد تکرار بار تا مرحله شکست

در نمونه های مسلح شده با ژئوگرید

تعداد تکرار تا پایان مرحله دوم نمودار تکرار ضریب سختی	تعداد تکرار تا مرحله شکست (کاهش درصد ضریب سختی)	سطح کرشن
۴۴۸۹۲۳	۴۴۲۱۸۹	۷۰۰
۱۷۵۷۹۰	۱۳۹۶۳۰	۹۰۰
۵۲۶۱۰	۴۳۶۵۰	۱۱۰۰
۳۶۷۰۰	۲۵۶۵۰	۱۳۰۰

جدول ۸. معادلات خستگی به دست آمده

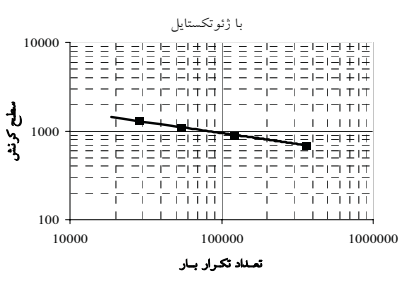
برای نمونه های مختلف

ضریب همبستگی ( $R^2$ )	معادله خستگی	نمونه آسغالی
= 0.9883 $R^2$	$N_f = 8.9420 \times 10^{18} \left(\frac{1}{\varepsilon}\right)^{4.7379}$	مسلح نشده
=0.9876 $R^2$	$N_f = 7.8058 \times 10^{18} \left(\frac{1}{\varepsilon}\right)^{4.6635}$	مسلح شده با ژئوگرید
=0.989 $R^2$	$N_f = 1.4354 \times 10^{17} \left(\frac{1}{\varepsilon}\right)^{4.0829}$	مسلح شده با ژئوتکستایل

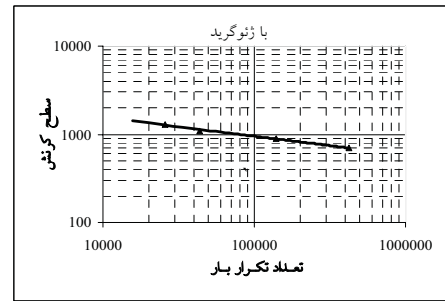
جدول ۹. ضرایب  $k_n$  در رابطه ۱

برای نمونه های مختلف

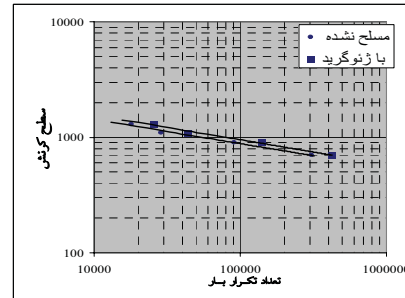
n	ک ضریب	شرح
4.7379	$8.9420 \times 10^{18}$	نمونه مسلح نشده
4.6635	$7.8058 \times 10^{18}$	نمونه مسلح شده با ژئوگرید
4.0829	$1.4354 \times 10^{17}$	نمونه مسلح شده با ژئوتکستایل



شکل ۷. منحنی خستگی برای نمونه های مسلح شده با ژئوتکستایل



شکل ۸. منحنی خستگی برای نمونه های مسلح شده با ژئوگرید



شکل ۹. مقایسه منحنی خستگی در حالت مسلح نشده و مسلح شده با ژئوگرید

با کرنش زیاد مشهودتر است و این امر در مورد ژئوتکستایل‌ها بیشتر قابل توجه است. همچنین مقادیر  $n$  نشان می‌دهند که سرعت کاهش عمر خستگی در نمونه‌های مسلح شده با افزایش سطح تنش کمتر از نمونه‌های مسلح نشده است. با توجه به مندرجات فوق می‌توان نتیجه گرفت که عملکرد ژئوگریدها در نمونه‌های آسفالتی بیشتر مسلح کننده است، اما در نمونه‌های مسلح شده با ژئوتکستایل، تأخیر در گسترش ترک‌ها عامل افزایش عمر خستگی است.

### سپاسگزاری

از همکاری آزمایشگاه مرکزی فنی و مکانیک خاک وزارت راه و ترابری و واحد مستقر در فرودگاه امام خمینی جهت استفاده از تجهیزات آزمایشگاهی و انجام آزمایش‌ها، و نیز همکاری‌های شرکت بهسازان محک و مجری محترم فرودگاه امام خمینی و دفتر نظارت مهندسین مشاور هگزا، آقای مهندس صیقلی قدردانی می‌شود.

### ۵. مراجع

- Chang, T.T., Ho, N.H., Chang, H.Y and Yeh, H.S, (1999) "Laboratory and case study for Geogrid reinforced flexible pavement overlay", TRB A2K07 Committee78" Annual Meeting.
- Amara, L., Imad L., Al-Qadi, Salman, Bhutta, and Gerardo, W. Flintsch (2001) "Evaluation of geosynthetics when used as separation", Department of Civil and Environmental Engineering, Blacksburg, VA
- Khodadadi, A. (1993) "The effect of compaction method on the fatigue life and elasto – plastic properties of asphalt pavement", Department Of Civil and Environmental Engineering ,Charleston University, Ottawa, Canada.
- Brown, S.F. (1999) "Geosynthetics in asphalt pavements", International Geosynthetics Society.
- Ahmad, S. 1998) "Mechanistic – empirical pavement design procedure for

مقایسه اشکال ۹ و ۱۰ بیان کننده این واقعیت است که عملکرد ژئوگرید‌ها در نمونه‌های آسفالتی بیشتر مسلح کننده است به این معنی که افزایش عمر خستگی ناشی از افزایش سختی اولیه و به تأخیر انداختن ایجاد ترک‌های ریز اولیه، از طریق حبس مخلوط و نگهداشت جانبی است. اما در نمونه‌های مسلح شده با ژئوتکستایل، تشکیل یک لایه نرم داخلی، باعث تاخیر در گسترش ترک‌ها و ایجاد ترک‌های بزرگ نهایی می‌شود و عامل افزایش عمر خستگی است. Chang et al. (2001) این عملکرد را در مورد ژئوگرید‌ها موردن تایید قرار داده است Austin و Gilchrist (2001) در مورد ژئوتکستایل‌ها نیز به این مطلب اشاره کرده‌اند [۲۳ و ۲۴].

### ۶. نتیجه‌گیری

آزمایش‌های مربوط به بررسی خستگی نمونه‌های روسازی‌های آسفالتی مسلح شده با ژئوستیک‌ها نشان می‌دهد که این نمونه‌ها به مراتب بهتر از نمونه‌های مسلح نشده می‌توانند خستگی را تحمل نمایند. این افزایش خستگی در سطح کرنش‌های بزرگ‌تر بیشتر آشکار می‌شود. مشاهدات عینی در حین انجام آزمون‌های خستگی تیر<sup>۶</sup> نشان دادند که نمونه‌های مسلح شده پس از پایان آزمایش، یکپارچگی و پایداری بهتری از نمونه‌های غیرمسلح دارند و عرض ترک‌های ایجاد شده هم کمتر است. علت این امر این است که در پایان عمر خستگی نمونه‌های مسلح شده، لایه های ژئوگرید و ژئوتکستایل تقریباً سالم باقی می‌مانند.

محاسبات اولیه بر روی نتایج جداول ۵ تا ۷ نشان می‌دهند که اگر مبنای پایان عمر خستگی کاهش ضربی سختی به اندازه ۵۰٪ سختی اولیه باشد، عمر خستگی در نمونه‌های مسلح شده با ژئوگرید به طور میانگین به اندازه ۵۰٪ و در نمونه‌های مسلح شده با ژئوتکستایل به اندازه ۴۸٪ در مقایسه با نمونه‌های مسلح شده افزایش می‌یابد. تمامی تحقیقات قبلی در مورد کاربرد ژئوستیک‌ها در مسلح سازی روسازی‌های آسفالتی، این مبنای اعبور ترک از عرض نمونه تعریف کرده‌اند. به این دلیل اختلاف نتایج این تحقیق در مورد عمر خستگی با کارهای قبلی زیاد است. اگر مبنای پایان عمر خستگی پایان مرحله دوم نمودار ضربی سختی در مقابل تکرار بار برای هر نمونه باشد، مقادیر بند فوق برای نمونه‌های مسلح شده با ژئوگرید ۵۶٪ و برای نمونه‌های مسلح شده با ژئوتکستایل ۸۵٪ است.

مقادیر  $k$  به دست آمده در جدول ۹ نشان می‌دهد که اثر ژئوتکستایل و ژئوگریدها، بر افزایش عمر خستگی در سطوح

۱۵- سازمان مدیریت و برنامه ریزی کشور، "آیین نامه رو سازی آسفالتی راه های ایران"، سازمان مدیریت و برنامه ریزی کشور، مرکز مدارک علمی و انتشارات، ۱۳۸۱.

16- POLYFELT INC, "Company catalog specification, Polyfelt-14 " 1997.

17- Standard Test AASHTO Provisional Standards (1994) "Standard test method for determination of the fatigue life of compacted hot mix asphalt (HMA), subjected to repeated flexural bending". TP8-94.

18- HUESKER INC (1993) "Company catalog specification, Hatelit".

19- Artamendi, A. and Khalid, H. (1993) "Different approaches to depict fatigue of bituminous materials", Department of Civil Engineering, University Of Liverpool, UK.

20- Institute of Transportation Studies, University of California, Berkeley, (1996) "Summary report on fatigue response of asphalt mixtures project A-003A", Strategic Highway Research Program, National Research Council, Washington, D.C.

21- Kim,K.W., Churl, Y.P., Seok, Y.K. (1996) "Tensile reinforcement of asphalt concrete using polymer coating", Construction and Building Materials, V. 10, pp. 141-146.

22- Austin,R.A., Gilchrist,A.J.T., (1996), "Enhanced Performance Of Asphalt Pavement Using Geocomposites, Journal Of Geotextile and Geomembrane", 14, 175-186.

23- GFR. (2003) "Overlay stress absorption and reinforcement", Geotechnical Fabrics Report, pp. 8-11

Geosynthetically stabilized flexible pavement", Blacksburg, Virginia Polytechnic Institute.

6- Perkins, S.W. (1999) "Geosynthetic reinforcement of flexible pavements: Laboratory based pavement test sections", Federal Highway Administration Report FHWA/MT-99-001/8138, Montana Department of Transportation.

7- Kwasi, A. ( 1997) "In-situ behavior of Geosynthetically stabilized flexible pavement", Thesis submitted to The Faculty of The Virginia Polytechnic Institute.

8- Brown, S.F., Jones, C.P.D. and Broderick, B.V (1982) "Use of non-woven fabrics in permanent road pavements", Proceedings of The Institution of Civil Engineers, London, UK, Part 2, Vol.73, pp. 541-563.

9- Hass, R., Wall, J., and Carroll, R.G.(1988) "Geogrid reinforcement of granular bases in flexible pavements", In Transportation Research Record 1188, TRB, National Research Council, Washington, DC, USA, pp. 19-27.

10- Barksdale, R.D., Brown, S.F. and Chan, F. (1989) "Potential benefits of Geosynthetics in flexible pavement systems", National Cooperative Highway Research Program Report.

11- Tensar Earth Technologies INC. (1998) "A review of Geosynthetic function and application in pave and unpaved roads", Technical Note.

12- Saraf, C.L., Majidzadeh, K and. William,T. (2001) " Effect of reinforcement on fatigue life of asphalt beams", Transportation Research Record, N. 1534, pp. 66-71.

13- SHRP (1994) "A-404, fatigue response of asphalt-aggregate mixes". Strategic Highway Research Program, National Research Council.

14- ASTM (1994) "Annual book of ASTM standards", American Society for Testing and Materials, Philadelphia, Pennsylvania.

### پانویس‌ها

- 1- Geotextiles
- 2- Geogrids
- 3- Geonets
- 4- Geomembranes
- 5- Geocomposites
- 6- Beam Fatigue

# **Effect of Geosynthetics on Fatigue Life of Asphalt Pavements**

*A. Khodadadi, Assistant Professor, Department of Civil Engineering, Tarbiat Modares University, Tehran, Iran.*

*M. Fakhri, Assistant Professor, Department of Civil Engineering, Khaje Nasir University of Technology, Tehran, Iran.*

*H.R. Amiri Hossaini, MSc. Student, Department of Civil Engineering, Tarbiat Modares University, Tehran, Iran.  
E-mail:akdarban@modares.ac.ir*

## **ABSTRACT**

Fatigue cracks are amongst the most important factors for destruction of asphalt pavements , caused by excess loads and traffic in roads and airports. Geosynthetics, as strengthening materials, are able to increase fatigue life and prevent early cracks in asphalt pavements, to a large extent. Efficiency of geosynthetics in asphalt pavements depends on many factors including asphalt mix, temperature , location, etc... This paper studies the performance of two types of geosynthetics (Geogrid and Geotextile) on the fatigue life of asphalt blocks with dimensions of 381 x 63 x 50 mm. Samples were provided of non reinforced, reinforced by geotextiles and geogrids, from asphalt slabs for the purpose of testing. Fatigue tests were conducted by four point beam test, and fatigue load by half-sin wave at a frequency of 10 cycle/sec (no rest period) has been used. The end of fatigue life is defined as decrease stiffness to 50% of its primary stiffness. Results indicated that the fatigue life of reinforcement beam with geogrid and geotextile increase 56% and 50% respectively. Furthermore reinforcing layer increases primary stiffness and reduces rate of cracks propagation in reinforcement specimens compared to non- reinforcement specimens.

**Keywords:** Asphalt pavement, fatigue life, geosynthetics, beam fatigue test.